

Est-il SAGE de réaliser un examen extemporané du ganglion sentinelle?

Biologie moléculaire l'examen extemporané moderne



Les analyses moléculaires du GAS

- Principe des analyses moléculaires :
 - Amplification moléculaire d'ARNm de protéines non présentes dans le ganglion lymphatique mais fortement surexprimées dans le tissu mammaire tumoral
- - RT PCR après extraction des acides nucléiques
 - deux ARNm CK19 et Mammaglobine
- - RT LAMP sans extraction des acides nucléiques
 - un ARNm celui de la CK19



Caractéristiques des analyses moléculaires

- Manipuler les échantillons proprement avec des instruments à usage unique → pour éviter les contaminations
- Les ganglions sont broyés et analysés totalement, une apposition histologique est le plus souvent réalisée, parfois une coupe pour l'analyse histologique.
- L'analyse de plusieurs ganglion est réalisée simultanément



OSNA = One Step Nucleic Acid Amplification Automate/réactifs









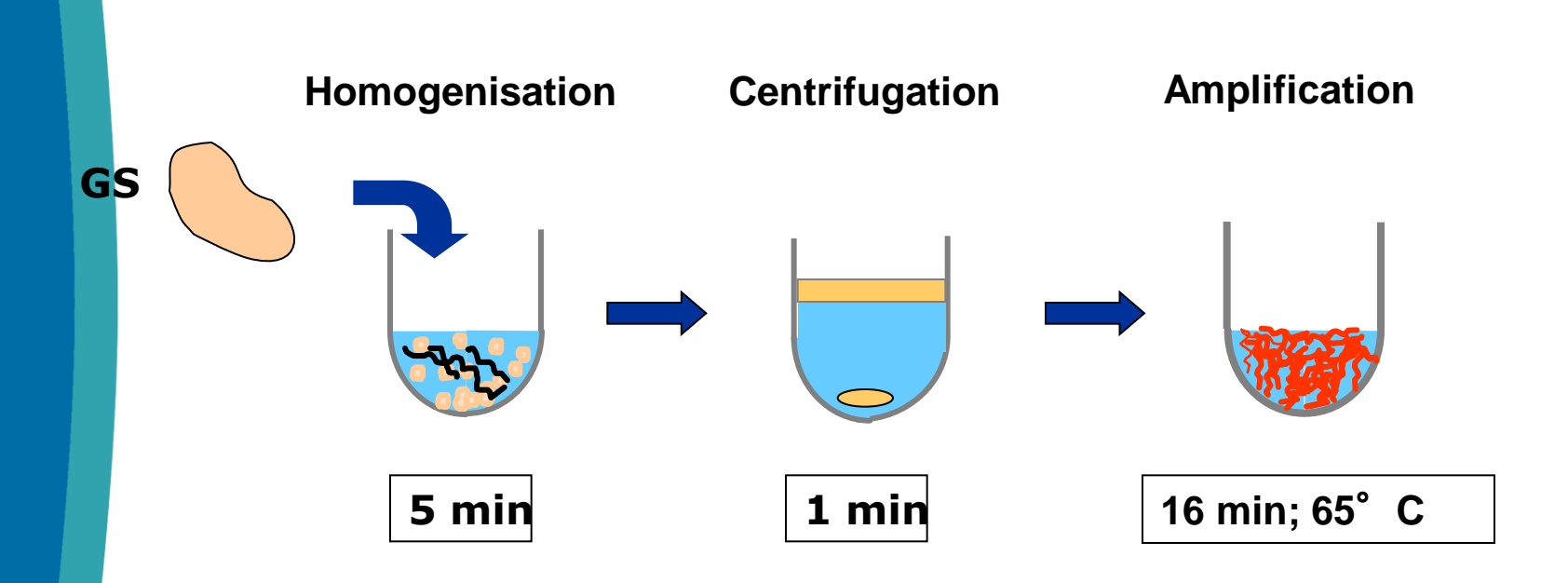
Le RD-100*i*: analyseur qui amplifie les ARNm CK19 selon la méthode RT-LAMP (Reverse Transcription Loop-mediated Isothermal Amplification)



OSNA permet de statuer sur la présence ou l'absence de métastases dans le ganglion sentinelle en 30 minutes



Procédure OSNA



Ganglion frais ou congelé rapidement

Pour 1 analyse deux réactions d'amplification sur échantillon pur et dilué (1/10) 4 amplifications en simultané + 1 contrôle positif + 1 contrôle négatif



Amplification ARNm CK19 par RT LAMP

(Reverse Transcription Loop-mediated Isothermal Amplification)

Haute spécificité et sensitibilité

- Utilisation de 6 amorces
- Pas d'amplification d'ADN génomique

▶ Amplification rapide (16 min)

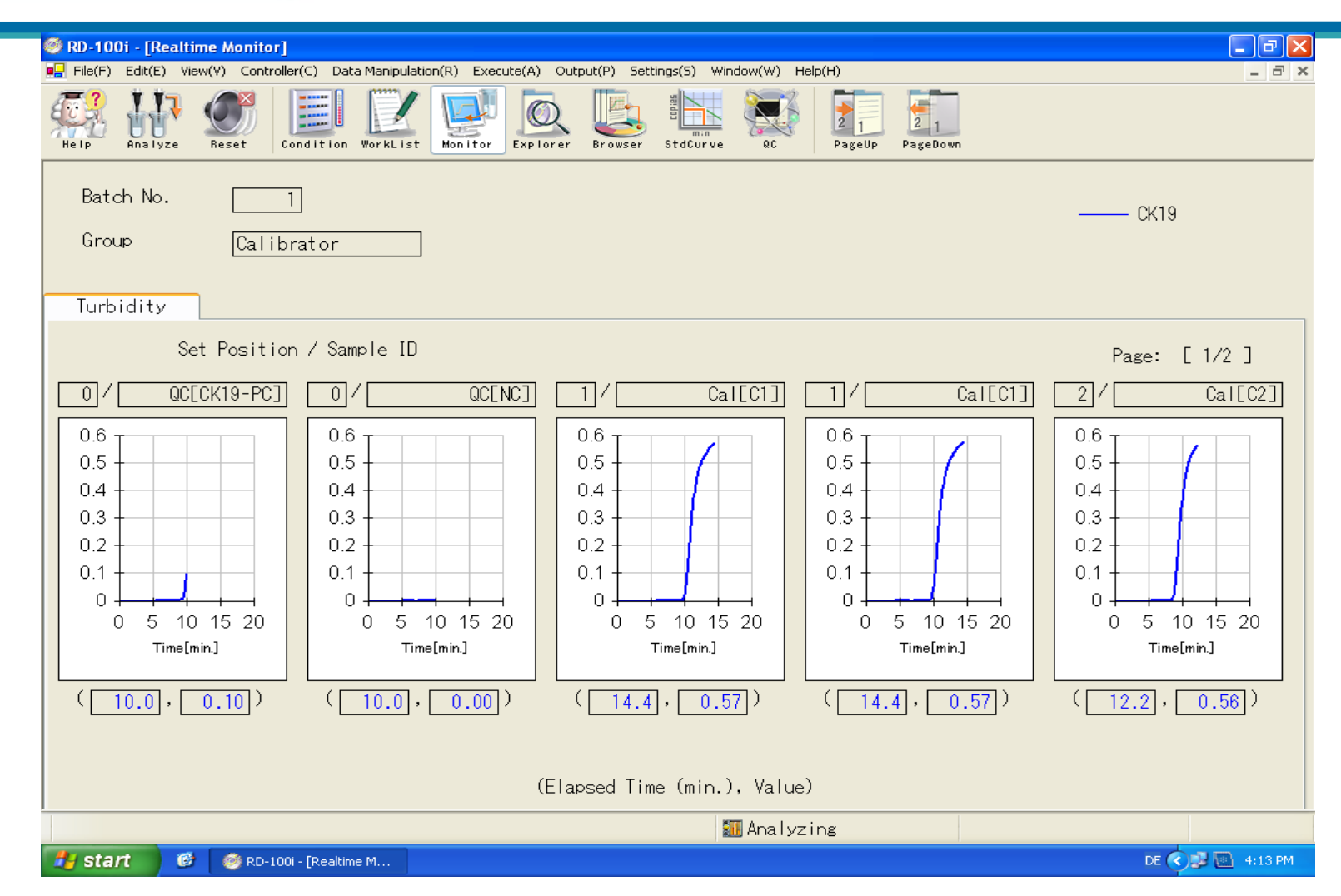
- Pas d'extraction d'ARNm
- Réaction isothermique à 65° C (pas besoin de thermocycleur)
- Amplification totalement automatisée RD100i



Suivi en temps réel



La concentration de l'ARNm CK19 est calculée selon la courbe d'étalonnage générée par la détermination du temps d'élévation d'un jeu de trois calibrants de concentration connue en ARNm CK19.





Compte rendu OSNA

- → Temps d'amplification court= 16mn, les métastases sont détectées en 9mn pour les plus grosses, 12mn pour les plus petites.
- → 4 GS peuvent être analysés
- → Résultat de l'analyse des GS en 30mn pour 1 GS et 5mn par GS supplémentaire

:Centre Eugene Marquis Etablissement

Département :Laboratoire de Biologie médicale

Responsable du département : Dr Florence Godey

Contrôle

ID sabantillan locker

Echantillons analysés par :	
Résultat	
ID échantillon 1505060003-1A	ID échantillon 1505060003-1B
Date 06/05/2015	Date 06/05/2015
Heure 11:56:54	Heure 11:58:54
Commentaire	Commentaire (Management 1)
	0//10
CK19 Q. (-) 0.6 CK19 0.6 CK19-D	CK19 Q. (+) 0.6 CK19 0.6 CK19-D
CK19 C. <2. 5E+02 0.5 0.4 0.5	CK19 C. 2. 7E+03 0.5 0.4 0.5
CK19 ND 0.3 0.3	CK19 11. 2 0.3 + + 0.3
CK19-D C. <2. 5E+02 0.1 0.2 0.1	CK19-D C. <2. 5E+02 0.1 0.2 0.1
CK19-D ND 0 4 8 12 16 0 4 8 12 16	CK19-D ND 0 4 8 12 16 0 4 8 12 16

ı	IIV ecnanti	Hon		J					IID ec	nanti	ш
l	Date		06/05	/20	15				Date		
l	Heure		12:01	:08					Heure		
	Commentair	·e							Comme	ntair	е
	CK19 Q. CK19 C. CK19	<2. 5E	(-) +02 ND	0. 6 0. 5 0. 4 0. 3	CK		0. 6 0. 5 0. 4	CK19-D		Q. C.	-
ļ	CK19-D C.			0. 2			0.2		CK19-	D C.	Г
-	CK19-D]",	4 8	12 16	, <u>, , , , , , , , , , , , , , , , , , </u>	4 8 12 16	CK19-	D	

ID échanti	Hon			
Date		06/05	5/2015	
Heure		12:01	1:08	
Commentair	е			
CK19 Q.	(++)	0.6 CK19 0.6 CK19-D	1
CK19 C.	1. 0E	+04	0.5	1
CK19	1	0.8	0.4	1
CK19-D C.			0.2	1
CK19-D			0 4 8 12 16 0 4 8 12 1	6

ourbe d'étalonnage			CtI.	PC
logC[copies/uL]	Mise à jour	06/05/2015	Time	10.
87	N° de lot	ZS4009	Conc.	1. 5E+0
6 + + + + + + + + + + + + + + + + + + +	C1	11. 3	Qualitative	(++)
	C2	9. 7	Ct1.	NC
3 1 1 1 1 1 1 1 1 1 1 1 1 1 1 1 1 1 1 1	C3	8. 6	Time	NI
	r	-0. 99	Conc.	<2. 5E+0
5 6 7 8 9 10 11 12 13 14 15 16 17 18 19 20 T(min.)	logC	-1. 481xT+20. 015	Qualitative	(-)
I [IIIII]				



Interprétation des résultats OSNA

Nombre de copies ARNm CK19	Résultats RD-100i Sysmex	Interprétation du résultat
≥250 et <5000	(+)	Micrométastase
≥ 5000	(++)	Macrométastase
≥100 et <250	(-) L	Absence de métastase
<100	(-)	Absence de métastase



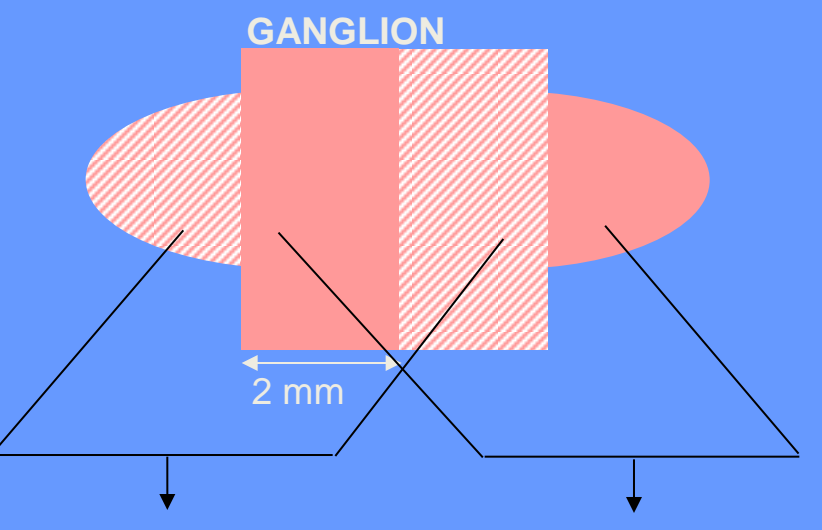
Etudes de validation OSNA

- ▶ Première validation de cette technique sur les ganglions lymphatiques axillaires non sentinelles dans différentes universités du Japon publiée (Taniyama Pathobiology 2006, Tsujimoto Clin Cancer Res 2007)
 → coupes de ganglions lymphatiques de 2 mm, taux de détection des macrométastases 100%, concordance avec l'IHC dans ces publications 98,2%.
- ▶ Etude multicentrique française réalisée en 2007
 → 233 patientes et 503 GS : sensibilité 91,7% , concordance globale 93,4% et spécificité 93.8%
- ▶ Résultats poolés des études de concordance japonaises, allemandes, hollandaises, anglaises et française sur plus de 2000 GS

 → concordance à 96,5% après analyse de discordance, sensibilité 95,6% et spécificité 96,%

OSNA est une alternative à l'analyse histologique sur coupes sériées tous les 200µm avec HES et IHC, avec une concordance aussi bonne que si l'on compare deux analyses histologiques.

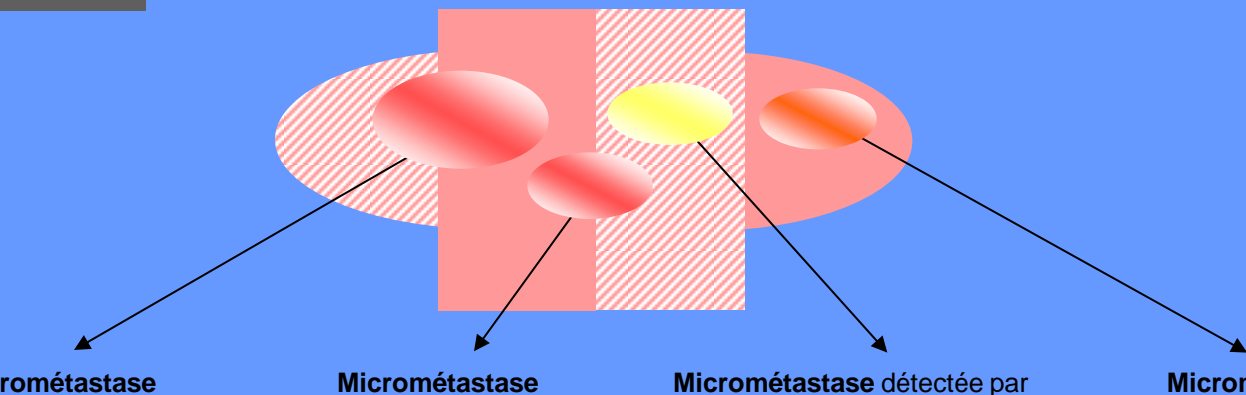
Partage en coupes alternées du ganglion selon grand axe tous les 2 mm





Analyse moléculaire Tout le tissu est analysé (lysat) Coupes sériées pour analyse histologique (même avec un niveau de coupes tous les 200µm sur tranche de 2 mm, environ 10% du tissu est analysé)

Biais de localisation



Macrométastase détectée par les deux techniques

Micrométastase détectée par les deux techniques

Micrométastase détectée par analyse moléculaire (discordance entre les deux techniques, biais de localisation) Micrométastase détectée par analyse histologique (discordance entre les deux techniques, biais de localisation)



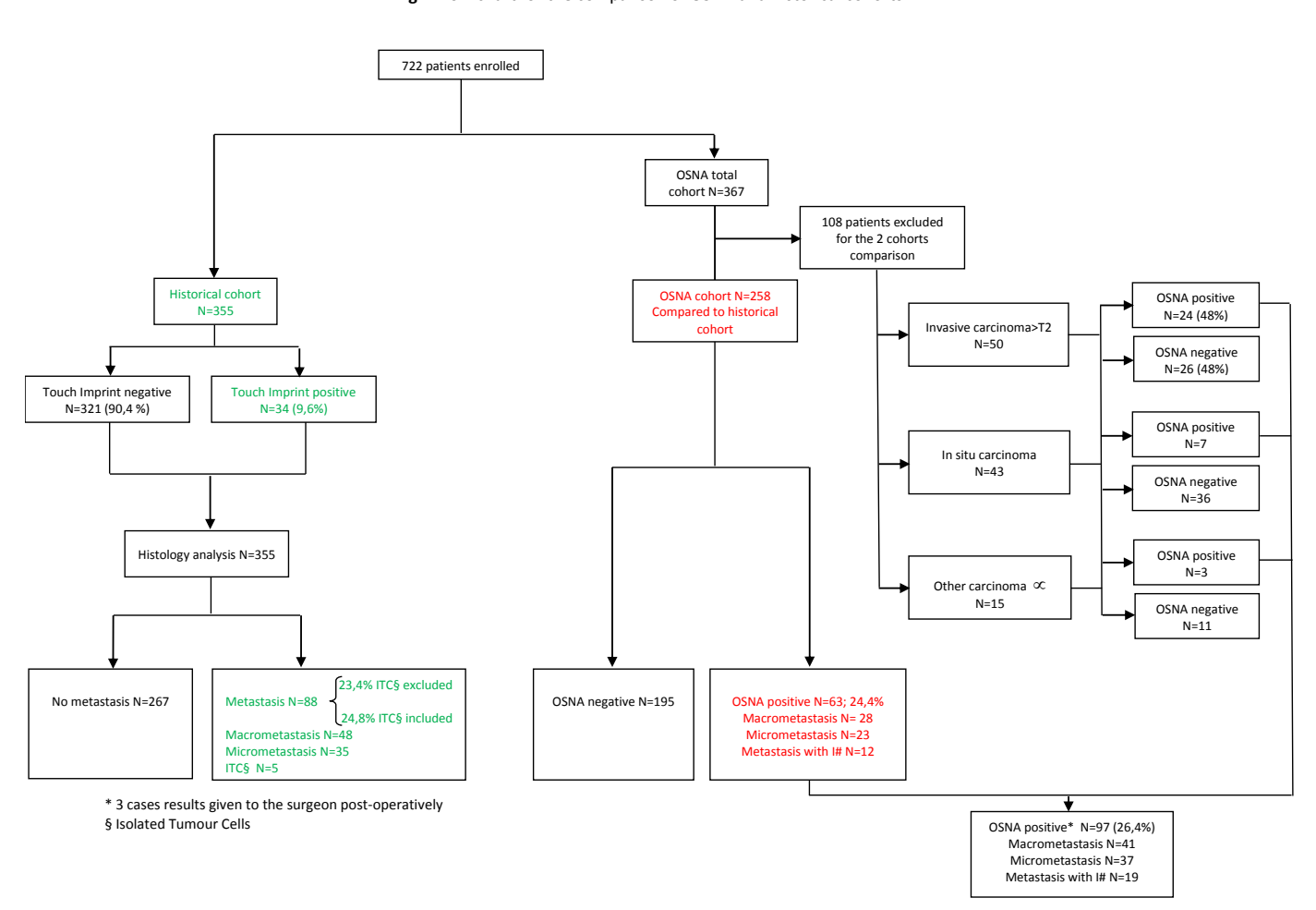
Comparaison de l'Analyse histologique avec examen extemporané réalisée au CEM avant 2008 versus l'analyse moléculaire OSNA mise en place depuis 2008

- ▶ Breast Cancer Res Treat. 2012 Jan;131(2):509-16.
- <u>Sentinel lymph node analysis in breast cancer: contribution of one-step nucleic acid amplification (OSNA).</u>Godey F, Leveque J, Tas P, Gandon G, Poree P, Mesbah H, Lavoue V, Quillien V, Athias CB.
 - Cohorte historique = analyse histologique des GAS en extemporané par apposition puis histologie définitive HES et IHC sur coupes (250μm)
 - →355 patients
 - Cohorte OSNA = analyse moléculaire OSNA en gardant une coupe pour analyse histologique
 - →367 patients



Résultats analyse OSNA de 367 patients et comparaison des 2 cohortes (historique et OSNA)

Fig.1 Flow chart for the comparison of OSNA and historical cohorts





Cohortes de patients: Cohorte historique = analyse histologique Cohorte OSNA = analyse OSNA

Number of patients Medium age of patients		OSNA total Cohort 367 56.8 years		OSNA Restricted Cohort 258 56.8	Historical Cohort 355 56.9
Tumour histology	Ductal invasive	248		212	313
	carcinoma Lobular invasive carcinoma	60	\rightarrow	46	42
	In situ carcinoma	43			
	Other	16			
Tumour size	1a	21		19	16
	1b	104		93	125
	1c	148		146	214
	2	50			
	Missing values	44			
SBR Grade	1	94			
	2 3	171			
	3	68			
	Missing values	34			
Hormones receptor status	Estrogen/progesterone +	300			
	Estrogen/progesterone -	51			
	HER2 +	21			
	Triple Negative	29			

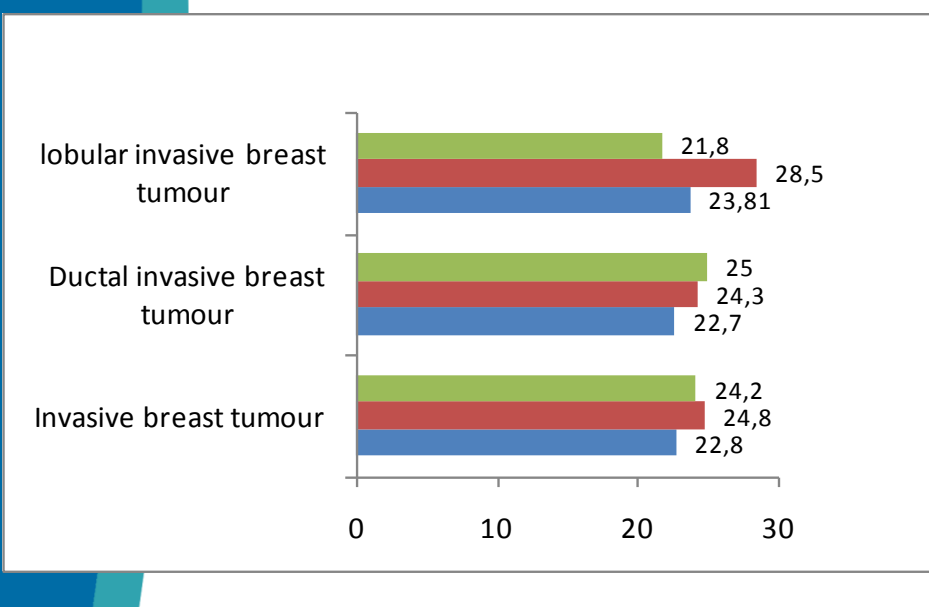


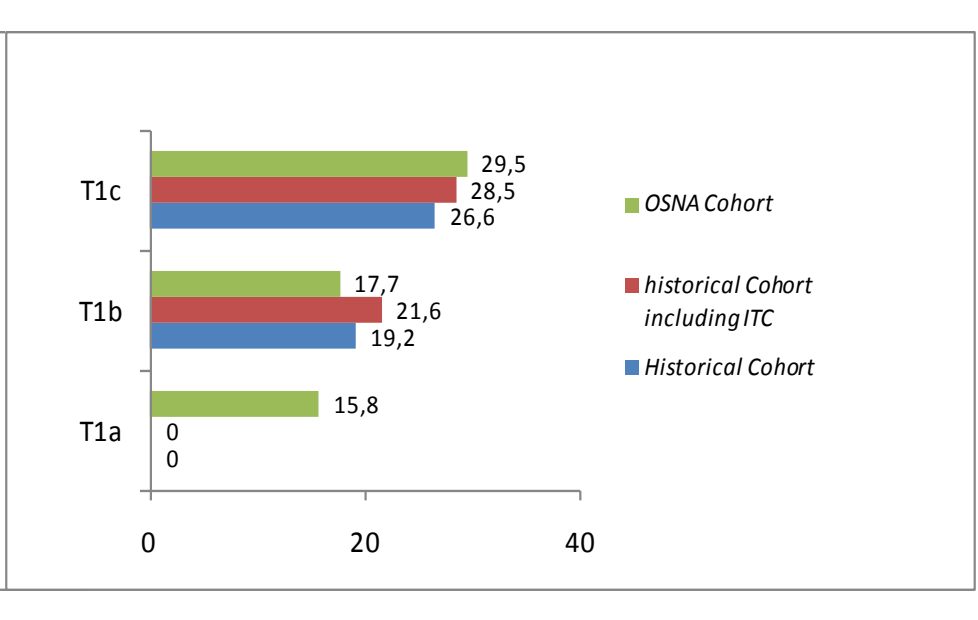
% GAS métastatiques OSNA versus Histologie définitive (Tumeurs < 2cm)

24,2% GAS+ avec OSNA

24,8% GAS+ avec histologie conventionnelle (avec Cellules tumorales isolées)

22,8% GAS+ avec histologique conventionnelle (sans Cellules tumorales isolées)







OSNA : l'examen extemporané de choix

► Approche histologique

- Examen extemporané coupe congelée / empreinte: (si réalisée)
 - ► Faible sensibilité (biais d'échantillonnage)

Analyse definitive post opératoire

Coupe en paraffine: H&E + IHC

- Seul 5% du ganglion est analysé (dépendant de la méthode utilisée)
- Pas de standardisation

▶ Méthode OSNA

- Analyse peropératoire du ganglion entier (pas de biais d'échantillonnage)
 - Haute sensibilité
 - Standardisée
- ► Pas d'analyse post-opératoire nécessaire
 - Possibilité de conserver une partie du tissu ou empreinte pour analyse histologique
 - Congélation du lysat pour d'autres analyses moléculaires

OSNA: c'est un examen moléculaire définitif des GS possible en peropératoire

OUI c'est examen extemporané moderne mais aussi. 16.



OSNA ce n'est pas qu'un examen extemporané, c'est une aussi une analyse définitive de qualité

- résultats comparables à une analyse histologique définitive intensive avec une indication sur la taille de la métastase (micro ou macrométastase)
- Automatisation complète après l'étape de préparation du lysat ganglionnaire
- ▶ Procédure standardisée et contrôlée → comparaison possible
 - Contrôles de qualité internes lors de chaque analyse
 - Contrôles de qualité externes 8 par an
- Possibilité d'analyser la totalité du ganglion sentinelle



Quantifier l'envahissement tumoral dans les GS avec OSNA

Initialement la technique a été standardisée sur une l'analyse histologique pour rendre

Micrométastase: >250 et <5000 copies d'ARNmCK19</p>

équivalent d'une taille histologique 0,2mm à 2mm

macrométastase: >5000 copies d'ARNmCK19

équivalent d'une taille histologique >2mm

- - raisonner en tenant compte de ce résultat
- Le nombre de copies dans l'ensemble des GS traduit le volume tumoral total qu'il est probablement préférable de prendre en compte ce résultat



ESSO 2012 Résultats 302 patients OSNA + et curage axillaire

	SLN OSNA+ Rennes-Rouen				
Number of patients		352			
Rennes		266			
Rouen		86			
	Ductal invasive carcinoma	261			
Turnaue bletalane	Lobular invasive carcinoma	52			
Tumour histology	In situ carcinoma	17			
	Other carcinoma	6			
	Estrogene +	247			
	Estrogene -	39			
Hormones receptor status	Progesterone +	257 78			
	Progesterone -	78			
HER 2 status	HER 2+	37			
TICK 2 status	HER 2-	217			
	1	66			
SBR grade	2	177			
	3	79			
	1a	8			
	1b	54			
Tumour size	1c	113			
Tumour size	2	68			
	3	- 5			
	4	1			

OSNA+ SLN

Two french cancer institutions Rennes (Eugene Marquis) and Rouen (Henri Becquerel)

- 302/352 axillary lymph node dissections (ALND) after SLN biopsy
- The study focused on 302 patients with ALND including:
 - 233 ductal breast carcinoma
 - 44 lobular breast carcinoma

CK19 mRNA Copy numbers distribution in the study population

- Considering CK19 mRNA copy numbers the population was divided in 4 quartiles:
 - quartile 1 (Q1): > 250 and < 830
 - quartile 2 (Q2): > 830 and < 4 350
 - quartile 3 (Q3): > 4 350 and < 25 500
 - quartile 4 (Q4): > 25 500

SAS 9.1 Software (Statistical Analysis System, Cary, NC)

Prediction of metastatic non-SLN

- Q1+Q2 patients with risk of axillary lymph nodes metastasis <16%</p>
 - ductal carcinoma
 - <16% if copy numbers <4350</p>
 - lobular carcinoma
 - <12% if copy numbers <4350</p>

- Q3+Q4 patients with risk of axillary lymph nodes metastasis >28%
 - ductal carcinoma
 - >28% if copy numbers >4350
 - >29% if copy numbers >25 500
 - lobular carcinoma
 - >36% if copy numbers >4350
 - >64% if copy numbers >25 500

	DUCTAL BREAST CARCINOMA: Risk of ALN Metastasis considering CK 19 m RNA copy numbers in SLN					
	Ck 19 m RNA copy numbers					
p=0.09 NS		Q1 Q2 Q3 Q4 >250 >830 >4350 >25500 Tota				Total
NO ALN	N	42	53	43	43	181
metastasis	%	85,71	84,13	71,67	70,49	
	N	7	10	17	18	52
ALN metastasis	%	14,29	15,87	28,33	29,51	
тот	AL	49	63	60	61	233

conside		CK 19 m F				ois
			Ck 19 m R	NA сору і	numbers	
P=0.015 Significative		Q1 >250 <830	Q2 >830 <4350	Q3 >4350 <25500	Q4 >25500 \	Total
NO ALN	N	9	8	7	5	29
metastasis	%	90	88,89	63,64	35,71	
Al N. motootogia	N	1	1 1	4	9	15
ALN metastasis	%	10	11,11	36,36	64,29	
TOT	ΓAL	10	9	11	14	44

RREAST CARCINOMA . Rick of ALN Motastasis



Quel est le meilleur seuil pour prédire le risque d'envahissement d'autres ganglions (1)

Peg V, Espinosa-bravo M, Vieites B et al (2013). Intraoperative molecular analysis of total tumor load in sentine lymph node: a new predictor of axillary status in early breast cancer patients. Breast Cancer Res Treat 139:87-93

→15000 copies

Deambrogio C, Castellano I, Paganotti A et al (2014). A new clinical cut-off cytokeratin 19 mRNA copy number in sentinel lymph node better identifies patients eligible for axillary lymph node dissection in breast cancer. J Clin Pathol 67:702-6

→7700 copies

Au seuil de 15000 copies, en excluant les faux négatifs de notre série, la valeur prédictive négative du test est très bonne 95,6% avec une sensibilité qui augmente à 86.6%, de la même façon au seuil 5000 copies la VPN est alors de 97.5% et la sensibilité du test augmente à 93.5%.

	Osna > 15 000	Osna < 15 000	Osna > 5 000	Osna < 5 000	Total
Curage axillaire +	26 (39,4%) =VP	12 (12,1%) = FN dont 8 avec une métastase en histologie dans tranche centrale	29 (43%) = VP	9 (9%) = FN dont 7 avec une métastase en histologie dans tranche centrale	38 (23%)
Curage axillaire	40	87	37	90	
Total	66	99	66	99	165



OSNA et nomogrammes

- Breast Cancer Res Treat (2014) 147:371–380. Nomogram including the total tumoral load in the sentinel nodes assessed by one-step nucleic acid amplification as a new factor for predicting nonsentinel lymph nodes metastasis in breast cancer patient. Isabel T. Rubio, Martin Espinosa-Bravo, Maxi Rodrigo, Maria Amparo Viguri Diaz, David Hardisson, Amaia Sagasta, Basilio Duen~as, Vicente Peg
 - 697 patients
 - **Results**: On multivariate logistic regression analysis, **tumor size**, **number of affected SLN**, **Her2 overexpression**, **LVI**, **and total tumoral load** were each associated with the likelihood of additional NSLN metastasis ($p \setminus 0.05$). Neither age, tumor grade, hormone receptors nor type of surgery had a statistically significant association with the likelihood of non- SLN metastasis
- ✓ OSNA dans un nomogramme qui prend en compte le nombre de copies d'ARNmCK19 plus de 2000 cas dans plusieurs pays européens, poster présenté à l'ASCO→ en attente de publication.
 - La taille tumorale
 - Le nombre de copies ARNmCK19



ELABORATION OF A NOMOGRAM TO PREDICT NON SENTINEL NODE STATUS IN BREAST CANCER PATIENTS WITH POSITIVE SENTINEL NODE, INTRA-OPERATIVELY ASSESSED WITH ONE STEP NUCLEIC ACID AMPLIFICATION (OSNA).

Prof. DI FILIPPO F., GIANNARELLI D.

ON BEHALF OF EUROPEAN AND ITALIAN OSNA USERS

BACKGROUND

Diagnostic axillary lymph node dissection (ALND) has been replaced by sentinel node bioppy (SNB) in nodal staging, Patients with a micrometastasis or macrometastasis in the SN have a risk of non-SL (NSN) metastases ranging from 20 to 50 %, respectively. Therefore most of the patients are submitted to an unnecessary ALND.

The clinical trial for positive SN, ACOSOG-20011, that randomized breast cancer (BC) patients to observation or ALND failed to reach its targeted accrual of 1900 patients but seems to demonstrate no differences in terms of axillary recurrence rate and survival between the two groups. The low number of 856 patients, in combination with the fact at 57% of patients raceived systemic chemotherapy and whole breast tirradiation (69%) limit the reliability of the results and leaves the question if they can be generalized to all patients undergoing SMB³.

Taking into account these considerations, accurate estimation of a likelihood of additional NSN metastases may be of paramount importance in the decision making about further treatment. As a consequence, the development of a mathematical model for predicting a patient-specific risk of NSL metastases is strongly warranted.

We have developed an European Database with positive SN detected by the molecular method OSNA, able to intra-operatively identify patients with micrometastases (CK19 mRNA copies \$20-5000) or macrometastases (number of copies > \$000) or operations of the copies of the

Characteristics	Nº of patients	%
estology	Miss 57	
×	2140	(89.0)
ic	263	E11.69
MADING	Mito 172	
53	357	(15-6)
12	1305	(57,0)
68	636	(27.4)
a .	Miss 184	
106	2063	19,065
reg	213	(9.4)
yd.	Mrss 190	
105	3844	(81.2)
Neg	436	(18.8)
482	Miss 221	
106	141	(6.3)
ng	2098	(93.7)
67	Miss 552	
OW	994	(52.1)
igh.	934	147.9
(min)		
12	638	(25.9)
13-18	626	(27.5)
19-25	642	(26.1)
25	504	(20.5)
TYPE	Miss 778	
nultiple	281	(16.7)
ingle	1682	(83.3)
VA.	Mes 513	
10	1134	(58-2)
91	813	[41.8]
	Miss 743	
untinal A	835	[48.6]
uminal B	682	(29.7)
ER2-like	33	(3.5)
riple Negative	367	(9.7)

	N°	1 %
N° of StN examined		_
1	1273	(51)
2	801	(32.
3	277	(11.
4	88	(3.3
5	17	(0.3
6	4	(0.2
N° of positive SLN		_
3	1765	(71.
2	527	(21.
3	136	(5.5
4	29	(1.2
5	3	(0.3
SUN micrometaclases	977	(19.
SUN macrometastases	1483	60.3
Median (range)	14 (2-47)	$\overline{}$
N° of NSN removed	14.8	
mean		
N° of positive NSN	829	(33.
Median (range)	2 (1-90)	
Mean	3.2	
N Ratio: N° StN / N° StN removed	Mys 111	
40,25	21	(0.9
0.25-0.50	471	(20.
0.50-1.00	104	(4,4
1.00	1753	(74.)
M* of OX19 copies		т
<1.500	615 (25.0)	
1.500-12.000	636 (25.9)	
12,000-111,000	608 (24.7)	
>111,000	601 (24.4)	

METHODS

An European OSNA database was developed, only patients whose SN was intra-operatively assessed with OSNA were included. The parameters listed in table 1 and 2 were analyzed.

A total of 2460 patients were included in the database (977 micrometastases and 1483 macrometastases) with the collaboration of 22 European and Italian OSNA centers.

Univariate analysis was performed to determine factors associated with NSN metastases. Chi-square test was used for categorical variables. All variables with p values less than 0.05 were included in the logistic analysis using backward stepwise method.

RESULTS

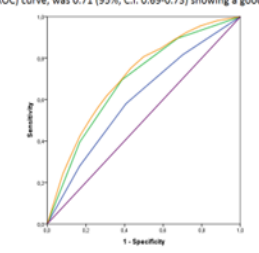
Multivariate logistic regression analysis demonstrated that only the number of a CK19 mRNA copies (p<0.0001), T size (p<0.0001) and LVI (p<0.0001) maintained their independent value (Tab. 3).</p>

Univariate analysis Multivariate analys						
	OR (95% CL)	P	OR (95% c.l.)	P		
HISTOLOGY		0.44				
CDEVS CUI	0.90 (0.69-1.17)					
GRADING		0.001				
62 vs 61	1.45 (1.12-1.87)	0.005				
63 vs 61	1.74 (1.32-2.31)	<0.0001				
[1		0.27		-		
Pos voineg	1.19 (0.87-1.61)					
Park		0.09				
Pos vs neg	1.22 (0.97-1.53)					
HER2		0.11				
Posius neg	0.73 (0.50-1.07)	1				
10 67		0.01				
High vs low	1.29 (1.06-1.56)					
T (mm)		<0.0001		<0.0001		
13-18 vs < 12	1.31 (1.02-1.67)	0.08	1.10 (0.85-1.43)	0.45		
19-25 vs <12	2.04 [1.60-2.60]	<0.0006	1.73 (1.34-2.23)	-0.0001		
>25 vs <32	2.70 (2.10-3.48)	<0.0001	2.22 (1.70-2.90)	49,0001		
TYPE		0.001				
Multiple vs single	1.55 (1.19-2.02)					
LVI		<0.0001	8.6.			
Ten yo no	2.88 (2.37-3.49)					
COPY		<0.0001				
Macro (>5000) vs Micro	3.57 (2.95-4.32)					
(r+5000)		1				
COPY		<0.0006		49.0001		
1.500-12.000 vs <1.500	2:15 (1.62-2.85)	<0.0001	2.15 (1.60-2.87)	<0.0001		
12,000-111,000 vs	426 (3.24-5.62)	<0.0001	4.14 (3.12-5.49)	<0.0001		
<1.500	7.18 (5.46-9.45)	<0.0001	6.86 (5.38-9.01)	<0.0001		
>111.000 vs <1.500						
MOLECULAR SUBTYPE		0.05				
Luminal A vs triple neg	1.09 (0.76-1.56)	0.64				
Luminal B vs triple neg	1.39 (0.97-2.01)	0.07				
Har2 us triple neg	0.76 (0.32-1.80)	0.54		1		

We wanted to build a nomogram that surgeons can utilize during the operation, therefore LVI was excluded because its unreliability assessed only with a preoperative core biopsy.

The model showed a sensitivity of 98.1%, a specificity of 19%, while the positive and negative predictive value were 36.2% and 92.5%, respectively.

The discrimination of the model, quantified with the area under receiver operating characteristics (ROC) curve, was 0.71 (95%, C.I. 0.69-0.73) showing a good discrimination (Fig. 1).



Copy no. 0.69 (0.67-0.71), T 0.60 (0.58-0.63), Model 0.71 (0.69-0.73), Reference line

Figure 2 ROC curves of number of CK19 mRNA copy number, T size (quartiles) and the model containing these two variables.

Fr model correctly performs well both at low and high risk cases as shown in the calibration polit (Fig. 2). The tumor regression model between predicted and actual probabilities has a slope of 0.98 (55%, C.I. 0.89-1.07) and a constant of 0.01 (95%, C.I. 0.03-0.04). In our nomogram, the mean difference between predicted and calibrated probabilities was 2.3%, with a maximum difference of 4.0% (Fig. 2). This information is of clinical utility because it permits the clinicians the opportunity to inform the patient regarding both the predicted probability of NSN metastases and the range of probability.

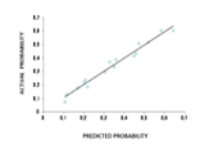


Figure 2 The model correctly performs well both at low and high risk cases as shown in calibration plot.

The significant variables were then incorporated in a nomogram to predict NSN status (Fig. 3).

Factor	Point
Tumor size < 12 mm	0
Tumor size > 12 mm and < 18 mm	0.09
Tumor size > 18 mm and < 25 mm	0.54
Tumor size > 25 mm	0.79
Number of copie < 2000	0
Number of copie > 2000 and < 12000	0.76
Number of copie > 12.000 and < 111.000	1.34
Number of copie > 111,000	1.95

Figure 3 Nomogram to calculate the risk percentage of NSN positivity. The score of each of 2 variables are summed and reported on the total score raw, immediately below is identified the percentage of NSN positivity.

COur nomogram was also proven to identify patients with NSNs ≥ 4 (Tab. 4). This information is very useful for the oncologist for the decision whether to give chemotherapy in luminal A-B (HER2 -) patients, and for radiotherapist to deliver regional node irradiation 4 - 5.

	OR (95% CA)	*
SRADINS		0.02
62 vs 61	2.11 (1.22-3.64)	0.007
63 vs 61	2.28 (3.29-4.22)	0.009
COPY		40.0000
1.500-12.000 vs < 1.500	1.50 (0.82-2.78)	0.18
12.000-111.000 vs <1.500	3.06 (1.82-5.16)	40.0004
-111.000 vs <1.500	4.83 (2.94-7.94)	40,0006
MOLECULAR SUBTYPE		0.05
Luminal A vs triple neg	2.60 (1.10-6.16)	0.08
Luminal B vs triple neg	3.13 (1.36-7.19)	0.007
Her? vs trole neg	2.26 (0.64-7.93)	0.20

CONCLUSIONS

In our analysis we have evaluated only parameters available at the time of operation because the final nomogram has to be employed by the surgeons as a guide for the surgical decision-making whether to perform or not AIND in BC women.

The large population employed and the power of number of CK19 mRNA copies are the right prerequisites for a reliable nomogram.

Moreover, the possibility to identify patients at high risk (≥ 4 nodes) might be of paramount important to deliver the right treatment planning

REFERENCES

- 1. Giuliano AE et al, JAMA 2011; 305(6): 569-575
- 2. Buglioni S, Di Filippo F et al, PLoS One 2013; 8(3): e58823
- 3. Ianosos A. et al, J Clin Oncol (2008), 16: 1364-1370
- 4. A. Goldhirsch et al, Panel members Ann Oncol 2013 00: 1-18, 2013
- Haffty BG et al. J Clin Oncol 2011, 29(34): 4479-81

AVMOUNTEDCEMENT

The study was funded by a grant from Sysmex Corporation.



Replacer OSNA dans le débat : Est-il SAGE de réaliser un examen extemporané du ganglion sentinelle?

- Oui à condition d'avoir une technique extemporanée fiable

 - A quel prix?

Pourquoi?

- Il reste des indications de curage axillaire si GS métastatique:
 - autant les réaliser dans le même temps opératoire que la chirurgie tumorale mammaire, c'est mieux!
 - Si la décision est difficile l'indication de curage sera discutée en RCP et réalisée dans un deuxième temps.
- Pour les indications de reconstruction mammaire immédiate avec GS non métastatique:
 - GS négatif permet de s'assurer qu'il n'y aura pas de traitement complémentaire par radiothérapie qui pourrait altérer la prothèse



OSNA avant 2011 L'expérience du CEM

> → Juin 2010:

- **26,43% patients (97/367)** avec au moins 1GS +
- **96** (98,9%) curages axillaires réalisés dans le même temps opératoire que la biopsie du GS et l'ablation de la tumeur

> → Février 2011:

- **27,2% patients (136/500)** avec au moins 1GS +
- 122 (89,7%) curages axillaires réalisés dans le même temps opératoire que la biopsie du GS et l'ablation de la tumeur



OSNA 2011- 2015 L'expérience du CEM

Après la publication Giulliano et al 2011

		OSNA Résultats			
		MAC	MIC	NEG	TOTAL
	GS + Chirurgie mammaire + Curage				
	(1 seul temps chirurgical)	119	63	21	203
ical	Curage seul (2ème temps chirurgical)	20	16	6	42
chirurgica	GS + Chirurgie mammaire	21	74	510	605
Acte	GS seul sans chirurgie mammaire	48	86	314	448

208

239

851

1298

- 150 cas avec biopsie du GS lors de la chirurgie mammaire et macrométastase OSNA
 - № 119 (79,3%) curages dans le même temps opératoire

TOTAL

- 20 curages différés
- 21 (14%) pas de curage
- 153 cas avec biopsie du GS lors de la chirurgie mammaire et micrométastase OSNA
 - ▶ 63 (41,2%) curages dans le même temps opératoire
 - 16 curages différés
 - 74 (48.3%) pas de curage



Intérêt à l'avenir de l'examen extemporanée OSNA pour éviter une reprise chirurgicale pour curage

- ▶Les indications du GS se sont étendus
 - Plus grosses tumeurs
 - GS en néoadjuvant
 - GS après chirurgie antérieure

- De nouvelles situations avec peu d'étude
- Pour les macrométastases: sûrement pour la plupart
- Pour les micrométastases: parfois
- En fonction des caratéristiques tumorales et autres traitement adjuvant



OSNA pour la recherche des petites métastases

PRMI

- Peut-être que c'est mieux de quantifier les petites métastases afin de savoir que cela n'a pas d'impact plutôt que de ne pas savoir et de méconnaitre un intérêt pour la prise en charge des patientes:
 - →avec OSNA c'est inclus dans le prix! Pas de coupes supplémentaires tout le ganglion est analysé

Analyse des ganglions sentinelles : intérêt de l'analyse moléculaire OSNA (One Step Nucleic Acid amplification) pour l'analyse des métastases ganglionnaires des petites tumeurs mammaires



Godey F., Bendavid-Athias C., Rouquette S, Leveque J.

Centre de Lutte Contre le Cancer Eugène Marquis, rue de la Bataille Flandres-Dunkerque, CS 44229, 35042 Rennes cedex.

OBJECTIFS

Après une première étude des ganglions sentinelles (GAS) analysés avec OSNA au CRLCC Eugène Marquis de Rennes dont les principaux résultats sont rappelés, les résultats des GAS analysés avec OSNA pour 69 patientes opérées d'un carcinome intracanalaire (CIC) et 34 patientes opérées d'un carcinome infiltrant de petite taille T1a sont présentés et discutés.

MÉTHODES UTILISÉES

La Technique OSNA (one step nucleic acid amplification) Sysmex recherche l'ARN de la CK 19 (Cytokeratine 19) sur un lysat du GAS sans extraction d'ARN selon la technique RT LAMP. Les GAS analysés en histologie ont été éxaminés ne attemporande par aposition, puis épuisés en coupse étagées de 250 microns, chaque coupe a subi un immunomarquage par la cytokératine (clone AEI, AE3, Dako). Les ganglions de curage ont été examinés par coloration HES.

RESULTATE

Résultats avec OSNA des GAS de 367 patientes versus 355 patientes pour lesquelles les GAS avaient été analysés en histologie conventionnelle (Sentinel lymph node analysis in breast cancer: contribution of one-step nucleic acid amplification (OSNA). Breast Cancer Res. Treat. 2011 Oct 13):

Ces premiers résultats n'ont pas montré de différence significative entre l'analyse histologique et l'analyse OSNA pour les patientes opérés d'un carcinome canalaire ou lobulaire infiltrant < 2 cm : taux d'envahissement des GAS avec OSNA 24,3% versus 22,8% sans inclure les cellules tumorales isolées (CTI) ou 24,8% avec CTI. Toutefois le taux de détection de métastases dans les GAS pour les petites tumeurs T1 a avec OSNA était de 16,6% (3/18) versus 0% (0/16) avec histologie (figure 1).

Analyse des GAS avec OSNA pour 34 patientes opérées d'une tumeur T1a : GAS+ OSNA pour 5 patientes (14,3%) présentant un carcinome canalaire (tableau 1)

3 patientes ont présenté une tumeur triple négative dont 2 avaient une mutation BRCA1, 1 patiente était encore sous traitement hormonal pour le traitement d'un cancer du sein controlatéral, 1 patiente était opérée pour un carcinome intracanalaire mais finalement l'analyse histologique sur pièce opératoire a retrouvé un carcinome infiltrant Tla.

Tableau 1 : GAS+ OSNA et Carcinome infiltrant Tla

Tableau 1: GAS+ OSNA et Carcinome infiltrant T1a									
Age	ATCD	Taille Histo mm	Grade SBR	Ki 67 %	RH	HER2	GAS	Curage axillaire	Décision RCP
46	Mutation BRCA1	5	3	30	,	-	1 positif sans quantification	Négatif	Radiothérapie
71	Cancer sein controlatéral	5	1	5	+	-	1 positif sans quantification	Négatif	Radiothérapie Hormonothérapie
33	Mutation BRCA1 cancer sein et ovaire chez mère	5	3	30	- 1	-	1 macro- métastase	Négatif	Chimiothérapie + mammectomie bilatérale prophylactique
62		<5	1	<5	٠	-	1 micro- métastase	non fait	Radiothérapie Hormonothérapie
55	Carcinome intra- canalaire à la biopsie	4	2	5		-	1 micro- métastase	Négatif	Radiothérapie

Analyse des GAS avec OSNA pour 69 patientes opérées d'un carcinome intracanalaire étendu : GAS+ OSNA pour 9 patientes (13%) (tableau 2). 7 mammectomies et 2 zonectomies ont été réalisées, la plupart pour des carcinomes intracanalaires de haut grade.

Fig 1: Comparaison de l'analyse OSNA et de l'analyse histologique conventionnelle pour la détection de métastases dans les ganglions sentinelles selon la taille tumorale

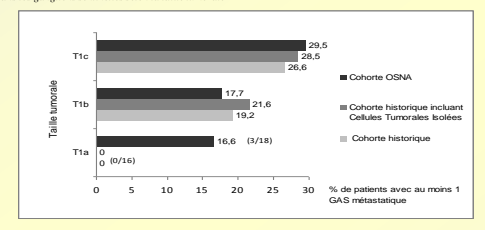


Tableau 2: GAS+ OSNA et Carcinome intracanalaire

Tableau 2: GAS+ OSNA et Carcinome intracanalaire									
Age	ATCD	Taille Histo mm	Grade	RH	Chirurgie	GAS	Curage axillaire	Décision RCP	
42	ATCD familiaux ++ cancer sein sœur et cousine mais pas de mutation BRCA1	50	Haut grade avec nécrose extensive		Mammectomie	3 micro- métastases	Négatif	Chimiothérapie + mammectomie prophylactique controlatérale	
34		60	Haut grade avec nécrose extensive	RP+ RE-	Mammectomie	1 positif sans quantification	Négatif	Surveillance	
62	ATCD familiaux cancer sein chez mère et sœur	30	Haut grade avec nécrose extensive		Zonectomie	1 micro- métastase	Négatif	Radiothérapie Reprise marge	
38		60	Haut grade avec nécrose ponctuelle	RE+ RP-	Mammectomie	1 micro- métastase	Négatif	Surveillance	
64		45	Grade intermédiaire avec nécrose ponctuelle	٠	Zonectomie	1 positif sans quantification	Négatif	Radiothérapie + Hormonothérapie	
70		65	Grade intermédiaire avec nécrose ponctuelle	٠	Mammectomie post tumorectomie	1 positif sans quantification	Négatif	Surveillance	
43			Haut grade avec nécrose extensive	-	Mammectomie+ Reconstruction mammaire immédiate	1 micro- métastase	non fait	Surveillance	
42	Cancer ovaire stade la traité par chirurgie exclusive	50	Haut grade avec nécrose extensive	-	Mammectomie+ Reconstruction mammaire immédiate	1 micro- métastase	non fait	Surveillance	
45	ATCD familiaux Cancer sein sœur	45	Bas grade sans nécrose	٠	Mammectomie	1 macro- métastase	Négatif	Hormonothérapie	

CONCLUSION

La technique OSNA permet une analyse de tout le ganglion, cette technique est standardisée, elle est réalisée sur GAS frais en extemporanée, ainsi tous les curages axillaires justifiés peuvent être réalisés dans le même temps opératoire évitant des reprises chirurgicales pour positivité du GAS.

La technique OSNA a été calibrée pour que l'on obtienne les mêmes résultats que l'analyse histologique ce que nous avons pu vérifier et publier pour les patientes opérées au CRLCC Eugène Marquis de Rennes.

Nous avons poursuivi notre étude pour les patientes présentant des petites tumeurs car le taux d'envahissement des GAS paraissait plus important avec OSNA que ce que nous retrouvions habituellement avec l'analyse histologique. Au final avec la technique OSNA le taux d'envahissement des GAS est de 14,3% pour les petites tumeurs mammaires infiltrantes T1a et de 13,2% pour les carcinomes intracanalaires. Il n'a jamais été retrouvé de ganglions envahis dans les curages axillaires à l'analyse histologique pour ces petites tumeurs ce qui n'est pas incohérent car on sait que la taille des métastases ganglionnaires est proportionnelle à la taille tumorale et que l'analyse histologique sur les ganglions de curage est adaptée pour la recheche de macrométastases mais pas suffisament détaillée pour la recherche de micrométastases. Les patientes présentant de petites tumeurs T1a pour lesquelles l'analyse OSNA a mis en évidence une métastase présentaient par ailleurs des facteurs de risque particuliers tumeur triple négative, facteurs de prolifération élevés, des antécédents personnels ou familiaux de mauvais pronostic.

Compte tenu de la bonne concordance pour les tumeurs plus grosses, nous pouvons supposer que du fait de l'analyse exhaustive du GAS la sensibilité analytique est très bonne pour la détection des petites métastases avec OSNA. Cette précision analytique nous apporte de nouvelles opportunités pour l'étude des petites métastases dont l'impact clinique est actuellement très largement débattu afin de mieux définir le traitement approprié. Dans le cas particulier des carcinomes intracanalaires la présence d'une métastase ganglionnaire peut nous faire suspecter un foyer de microinfiltration qui n'est pas toujours détectable sur la pièce de mammectomie.



CONCLUSION: Analyse moléculaire OSNA des GS Tumeurs mammaires

- ✓ OSNA pour ceux qui souhaitent un examen extemporané mais pas que...
- La mise en place est plus simple si les indications d'extemporané sont moins nombreuses: l'analyse est réalisée en peropératoire, mais le résultat n'est pas attendu et donc pas de temps d'attente au bloc opératoire.
- C'est aussi une alternative à l'analyse histologique pour ceux qui veulent une analyse fine et standardisée des GS→ actuellement BHN ou PHN mais cet acte doit avoir une nomenclature en B ou P selon le laboratoire qui prend en charge l'analyse.
- Les résultats sont comparables quelques soit le laboratoire qui traite l'analyse
 - Fiable
 - Reproductible
 - Non opérateur dépendant
 - Intérêt pour des études prospectives multicentriques



CONCLUSION: l'analyse moléculaire OSNA des GS Colon, Gastrique, ORL,...

✓ Intérêt comme analyse extemporanée fiable quand il existe une indication de curage complémentaire

✓ Intérêt aussi pour détecter les petites métastases ganglionnaires pour assurer une meilleure classification des patients



Merci de votre attention

